

НАУЧНЫЙ ЦЕНТР
«ДИСПУТ»

**НАУКА СЕГОДНЯ
ФАКТЫ, ТЕНДЕНЦИИ, ПРОГНОЗЫ**

Материалы международной
научно-практической конференции

26 июня 2019 г.

Вологда
2019

УДК 001.1
ББК 60
НЗ4

Наука сегодня: факты, тенденции, прогнозы [Текст]: материалы международной научно-практической конференции, г. Вологда, 26 июня 2019 г. – Вологда: ООО «Маркер», 2019. – 88 с.

ISBN 978-5-907083-51-6

Сборник научных трудов содержит материалы, представленные на международную научно-практическую конференцию «Наука сегодня: факты, тенденции, прогнозы», проведенную Научным центром «Диспут» 26 июня 2019 г. в Вологде.

Сборник предназначен для научных и педагогических работников, аспирантов, магистрантов и студентов с целью использования в научной работе и учебной деятельности.

Все материалы публикуются в авторской редакции. За содержание статей ответственность несут авторы.

Научные труды конференции размещены на платформе научной электронной библиотеки (eLIBRARY.ru). Договор с ООО «Научная электронная библиотека» № 1716-06/2015К.

Электронная версия сборника размещена на сайте volconf.ru.

УДК 001.1
ББК 60

© Авторы статей, 2019
© Научный центр «Диспут», 2019

ISBN 978-5-907083-51-6

СОДЕРЖАНИЕ

ФИЗИКО-МАТЕМАТИЧЕСКИЕ НАУКИ	
Воронцов М.А. Удаление полупрозрачных водяных знаков с применением сверточных нейронных сетей.....	5
Ольшанский Г.Б. Разработка алгоритма сжатия аудиоданных для передачи в режиме HD.....	6
ХИМИЧЕСКИЕ НАУКИ	
Куликов М.А. Изучение влияния природы и положения заместителя на реакцию способность замещенных бензальдегида в конденсации Кляйзена-Шмидта с использованием методов квантовой химии.....	7
Новолоков К.Ю. Синтез производных гликолурила.....	9
БИОЛОГИЧЕСКИЕ НАУКИ	
Кондратьева Т.Д. Обоснование способа компостирования куриного помёта для получения органического удобрения с использованием микробиологических добавок.....	11
ТЕХНИЧЕСКИЕ НАУКИ	
Догонов М.Л., Тихонов М.С., Якончук Д.А. Проектные решения Мотыгинского гидроузла.....	14
Золотов А.С. Сравнение задержки распространения сигнала по двум кабелям «витая пара» на подстанции.....	16
Кузьмин В.В., Абрамова Л.В. Обмеление Верхней Оки и строительство каскада гидроузлов как возможный вариант решения проблемы.....	18
Митрайкин В.И., Зайцева Т.А. Расчет критической нагрузки вывиха эндопротеза тазобедренного сустава.....	21
Панфилов Д.И., Асташев М.Г., Рожков А.Н., Красноперов Р.Н. Разработка подхода к адаптации управления источниками реактивной мощности в условиях изменения параметров режима линии электропередачи.....	23
Старцев А.С., Ефременко П.Н., Оленцевич В.А. Использование непрерывной эстакады из сборных пустотелых железобетонных конструкций на участках неустойчивого земляного полотна при строительстве второго пути на Восточном полигоне.....	25
Шигаров А.Ю., Юрьева Е.А. Вопросы выбора конструкции плотины Канкунской ГЭС на реке Тимптон.....	27
Якончук Д.А., Шигаров А.Ю., Догонов М.Л. Вопросы проектирования ГЭС «Голубые озёра» в Кабардино-Балкарии.....	30
ИСТОРИЧЕСКИЕ НАУКИ	
Асратян Д.К. Штрихи к портрету «монаха» Евфимия, просветителя Алании.....	32
Иванов С.С. Чужаки в Париже XIII века (по «Книге ремёсел» Этьена Буало).....	34
Мамиев М.Э. Николай Мистик в христианской истории Алании.....	35
Мамиев М.Э. Аланский храм Суаны Уастырджи.....	37
ЭКОНОМИЧЕСКИЕ НАУКИ	
Павлова В.А., Голубев М.Н., Бородулина С.А. Особенности экономического развития Венесуэлы с учетом геополитических реалий.....	39
Нефедьева Е.В., Гожа А.П., Шпак Ю. А. Анализ существующих методик оценки эффективности.....	41
Парахина Л.В., Щёголев А.В. Риск-ориентированное управление организацией в современных условиях экономики.....	45
Репичев А.И., Щеголев А.В. Меры государственной поддержки агропромышленного комплекса в РФ.....	46
Савина А.М. Оценка эффективности использования бюджетных средств в контрактной системе.....	48
Тишков С.В., Каргинова-Губинова В.В., Щербак А.П., Ромашкина Ю.В. Возможности использования возобновляемых источников энергии в энергетическом балансе.....	50
Тулпаров С.М. Контроль над бюджетом организации на уровне отчета о прибылях и убытках как фактор обеспечения эффективности ее деятельности.....	51
ФИЛОЛОГИЧЕСКИЕ НАУКИ	
Абакарова Н.К. Русские и кумыкские фитотопонимы.....	53
Чаплыгина Т.С. Язык индустрии моды: лексико-семантические «акценты».....	55

ЮРИДИЧЕСКИЕ НАУКИ	
Киселев А.М. О значимости морально-психологических качеств для деятельности персонала уголовно-исполнительной системы в экстремальных ситуациях.....	56
ПЕДАГОГИЧЕСКИЕ НАУКИ	
Бьгчкова Н.В., Чалбышев Д.В. Использование игровых технологий в урочной и внеурочной деятельности.....	58
Кириллова Т.С., Кошелева О.Н., Одишелашвили И.Р. Заимствованные слова в лексике русского языка	60
Кириллова Т.С., Одишелашвили И.Р. Некоторые мысли о билингвах и билингвизме.....	63
Назиров К. Совершенствование системы подготовки специалистов допризывного военного образования.....	64
Позднякова И.С. Проблемно-ориентированное видеообучение математике школьников.....	66
Самусенков О.И., Карпушин К.Ю., Бучков В.В., Самусенков В.О. Изменение состояния организма студента под влиянием различных режимов и условий обучения в художественном вузе	67
Силина В.М., Королёва С.И., Рыков Р.С. Использование тестов и игры для знакомства учеников с уникальностью экосистемы озера Байкал.....	69
Тарасова С.И. Условия самоконструирования знаний обучающихся.....	70
Темиров Ш.Р. Исследование двигательных способностей у детей младшего школьного возраста.....	73
Ткач М.А., Королёва С. И., Рыков Р.С. Разработка и создание электронного учебного пособия по первой доврачебной помощи	74
Ураимов С.Р. Мониторинг готовности выпускников военно-технического лица к службе в Вооруженных Силах Республики Узбекистан.....	76
Усманов З.А. Гиподинамический фактор и физическое состояние школьников.....	77
МЕДИЦИНСКИЕ НАУКИ	
Мамурова Н., Носирова Д., Рахимов М. Пневмонии с коморбидными течениями	79
ПСИХОЛОГИЧЕСКИЕ НАУКИ	
Земскова М.А. Мотивация непрофессиональных спортсменов в процессе спортивной подготовки	81
СОЦИОЛОГИЧЕСКИЕ НАУКИ	
Полевая Н.М., Ситникова В.В. Миграционные стратегии трудовых мигрантов в Амурской области.....	83
КУЛЬТУРОЛОГИЯ	
Акопян А.А. Театральная жизнь как текст культуры.....	84

коррозионной среде // Заготовительные производства в машиностроении. 2003. № 10. - С. 21-27.

9. Пачурин, Г.В. Долговечность листовых штампованных материалов на воздухе и в коррозионной среде // Материаловедение. - 2003. № 7. - С. 29-32.

10. Пачурин Г.В. Сопротивление усталости при разных температурах отожженной и упрочненной латуни Л63 // Международный журнал экспериментального образования. - 2014. - № 3-1. - С. 119-126.

11. Пачурин Г.В. К вопросу о гипотезах коррозионно-усталостного разрушения металлов и сплавов // Фундаментальные исследования. - 2014. - № 3-1. - С. 28-34.

12. Терентьев В.Ф. Усталость металлических материалов / В.Ф. Терентьев; Отв. ред. Н.П. Лякишев. - М.: Наука, 2003. - 254 с.

13. Сегал Я.С. Использование регистрации прогиба образца для изучения процесса усталости

// Прочность металлов при циклических нагрузках: Сб.- М.: Наука, 1967. - С. 66-71.

14. Кручинин В.В., Софронов Ю.Д. Изучение скорости распространения усталостных трещин по замерам прогиба образца. // Прочность металлов при циклических нагрузках: Сб. - М.: Наука, 1967. - С. 107-117.

15. Пачурин Г.В, Гусякова Г.П. Камера для усталостных испытаний образцов по схеме консольного изгиба с вращением в среде твердого хладагента // Заводская лаборатория. - 1987, №1. - С. 87-88.

16. Пачурин, Г.В., Гусякова, Г.П., Власов, В.А. Циклическая долговечность предварительно деформированных сталей 20Х13 и 14Х17Н2 // Изв. ВУЗов. Черная металлургия. 1991, № 5. - С. 33-35.

17. Пачурин Г.В, Гусякова Г.П. Устройство для испытаний на усталость при изгибе вращающегося образца. Авторское свидетельство №920456, Бюллетень изобретений, 1982, №14, - С.158.

УДК 621.316.722.076.12

Панфилов Д.И., Красноперов Р.Н., Рожков А.Н., Духнич Е.М.
АО «ЭНИН», Москва

МОДЕЛИРОВАНИЕ ТИРИСТОРНОГО КОМПЕНСАТОРА РЕАКТИВНОЙ МОЩНОСТИ С ВЫСОКИМ КАЧЕСТВОМ РЕГУЛИРУЕМОГО ТОКА

Приведено описание имитационной модели тиристорного компенсатора реактивной мощности, отличающегося повышенным качеством регулируемого тока. Приведены результаты имитационного моделирования тиристорного компенсатора мощностью +/- 200 кВАр работающего в составе участка трехфазной линии электропередачи напряжением 400 В. Приведена методология применения имитационной модели для исследования и отладки экспериментального образца тиристорного компенсатора реактивной мощности.

Имитационная модель, тиристорный компенсатор реактивной мощности, управляемый источник реактивной мощности.

Гибкие системы передачи переменного тока (FACTS) представляют собой концепцию, предполагающую активное управление процессами в электроэнергетике и развитие систем повышения качества электроэнергии. Важную роль в этих системах играют статические компенсаторы реактивной мощности (СКРМ) обладающие высоким быстродействием, и позволяющие увеличить объем передачи полной мощности, близкой к тепловому

пределу линии, без ущерба для ее пределов устойчивости [1]. Кроме этого, подобные устройства позволяют управлять напряжением в месте его установки, а также снижать потери энергии при ее передаче за счет компенсации реактивной мощности.

В АО «ЭНИН» разрабатываются инновационные технические решения по построению тиристорных компенсаторов реактивной мощности на базе отечественных компонентов силовой электроники с улучшенными технико-экономическими показателями качества электроэнергии для распределительных электрических сетей [2]. Внедрение таких тиристорных компенсаторов реактивной мощности (ТКРМ) позволит повысить качество электрической энергии распределительных электрических сетей благодаря полному отсутствию высших гармонических составляющих в регулируемом токе ТКРМ [3].

Моделирование является важным этапом при разработке и исследовании новых типов ТКРМ. Моделирование позволяет, во-первых, проводить анализ предельных

режимов работы ТКРМ в энергосистеме и определять пределы устойчивости, что не всегда доступно для проведения на экспериментальном образце из-за возможного выхода из строя оборудования. Во-вторых, совместное исследование модели и реального устройства позволит отработать модель с целью дальнейшего использования подобных моделей при проектировании ТКРМ.

Приводится имитационная модель ТКРМ мощностью ± 200 кВАр. Модель ТКРМ включает в себя тиристорно-переключаемую реакторную группу (ТПРГ), предназначенную для компенсации реактивной мощности емкостного характера ($+200$ кВАр), тиристорно-переключаемую конденсаторную группу (ТПКГ), предназначенную для компенсации реактивной мощности индуктивного характера (-200 кВАр), а также систему управления. Система управления предназначена для автоматического управления величиной компенсируемой реактивной

мощности путем переключения ступеней реактивной мощности ТКРМ. Каждой ступени ТКРМ соответствует определенная схема соединения реактивных элементов, реализуемая с помощью двунаправленных тиристорных ключей [4].

Имитационная модель трехфазного ТКРМ разработана в программном пакете MATLAB / SIMULINK. Каждая фаза имитационной модели трехфазного ТКРМ состоит из параллельно подключенных блоков ТПРГ (рис.1 (а)) и ТПКГ (рис.1 (б)).

Каждый из блоков ТКРМ состоит из четырех реактивных элементов (реакторов $L_1 - L_4$, для ТПРГ (рис.1 (а)), и конденсаторов $C_1 - C_4$ для ТПКГ (рис.1 (б))), соединенных между собой с помощью системы семи двунаправленных тиристорных ключей $S_1 - S_7$. Стоит отметить, что для надежной работы ТПКГ необходимо наличие последовательно включенного токоограничивающего реактора, предназначенного для рекуперации энергии, накопленной в конденсаторах, при каждой смене ступеней ТКРМ [5].

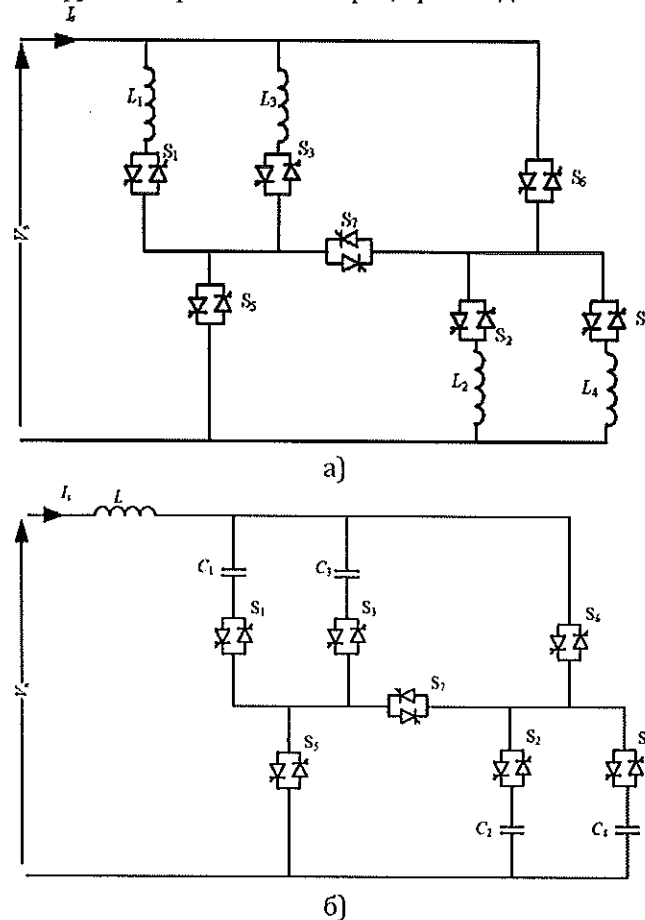


Рисунок 1. (а) Схема одной фазы тиристорно-переключаемой реакторной группы (ТПРГ) (б) Схема одной фазы тиристорно-переключаемой конденсаторной группы (ТПКГ)

Таблица 1. Номинальные значения реакторов $L_1 - L_4$ ТПРГ

Индуктивность реактора (мГн)	Мощность (кВАр)	Номинальный ток (А)	Номинальное напряжение (В)
$L_1 = 13,0$	13,1	57	231
$L_2 = 27,5$	6,2	27	231
$L_3 = 7,7$	22,1	96	231
$L_4 = 6,6$	25,8	112	231

Таблица 2. Номинальные значения конденсаторов $C_1 - C_4$ ТПКГ

Емкость конденсатора (мкФ)	Мощность (кВАр)	Номинальный ток (А)	Номинальное напряжение (В)
$C_1 = 781$	13,1	56	231
$C_2 = 370$	6,2	27	231
$C_3 = 1300$	21,8	94	231
$C_4 = 1500$	25,1	109	231

Номинальные значения реактивных элементов ТКРМ, приведенные в таблицах 1 и 2 для ТПРГ и ТПКГ соответственно, рассчитаны таким образом, чтобы регулирование реактивной мощности ТКРМ осуществлялось с высокой степенью дискретности при максимально равномерном распределении реактивной мощности по ступеням. Рассматриваемый ТКРМ (рис.1) способен обеспечить работу 25 ступеней компенсации реактивной мощности индуктивного характера и 25 ступеней компенсации реактивной мощности емкостного характера. Регулировочная характеристика ТКРМ для приведенной выше схемы представлена на рис.2. Каждой

ступени от 1 до 25 соответствует определенное значение реактивной мощности от 0 до 200 кВАр.

Одним из требований к ТКРМ является компенсация реактивной мощности во всем диапазоне ее регулирования при синусоидальной форме регулируемого тока. Исследование работы ТКРМ при изменении режима работы линии осуществлялось на имитационной модели ТКРМ (рис. 2), работающего в составе участка трехфазной линии электропередачи напряжением 400 В (рис. 3). Трехфазная линия электропередачи представлена трехфазным источником напряжения и активно – индуктивной нагрузкой.

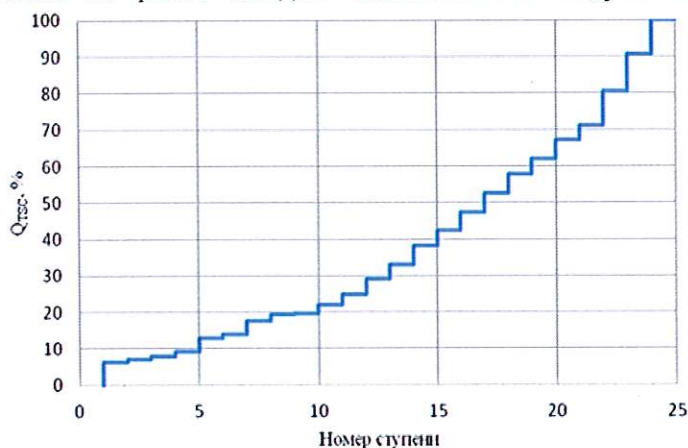


Рисунок 2. Регулировочная характеристика ТКРМ

Имитация изменения режима работы линии осуществляется за счет изменения величин активной и реактивной мощностей нагрузки. При этом могут меняться как сами величины, так и фазовый сдвиг нагрузки. Компенсация реактивной мощности нагрузки осуществляется за счет

выбора дискретной величины реактивной мощности компенсатора максимально близкой к реактивной мощности нагрузки. [6].

Производится снятие осциллограмм тока и напряжения в сети при различных величинах активно-индуктивной нагрузки

ки без подключения и с подключением ТКРМ к сети. Для проверки работы ТКРМ рассмотрены два режима работы линии, отличающиеся сопротивлением нагрузки.

На рис. 4 (а) представлены осциллограммы тока и напряжения в линии электропередач без ТКРМ при подключенной активно-индуктивной нагрузке на 1кВт активной и 40 кВАр реактивной мощности индуктивного характера, при этом угол сдвига фаз между током и напряжением в сети составляет 89° , в сети протекает ток 57 А. Осциллограммы тока и напряжения в линии после подключения ТКРМ к точке подключения нагрузки к сети представлены на рис. 4 (б). При этом наблюдается уменьшение угла сдвига фаз до 35° , а действующее значение тока в сети до 1,8 А (для наглядности ток на осциллограмме рис. 4 (б) увеличен в 10 раз), что говорит о существенном уменьшении реактивной мощности в линии.

Временные диаграммы мощностей на нагрузке Q_{load} , на ТКРМ Q_{TSC} и в линии электропередач после ТКРМ $Q_{before\ load}$ приведены на рис. 4 (в). До момента времени 1,6с реактивная мощность в линии электропередач держится на уровне реактивной мощности нагрузки. Подключение ТКРМ происходит в момент времени 1,6с, время перехода в установившийся режим компенсации составляет 0,04с. С этого момента времени ТКРМ переходит в 10 ступень

компенсации реактивной мощности индуктивного характера, реактивная мощность в сети $Q_{before\ load}$ снижается с 40 до 0,7 кВАр. Просадка мощности в нагрузке и на линии до включения ТКРМ обусловлена падением мощности на активных сопротивлениях линии из-за наличия большого тока в ней. Осциллограммы тока и напряжения в линии при подключении активно-индуктивной нагрузки на 1кВт активной и 160 кВАр реактивной мощности индуктивного характера приведены на рис. 5 (а) и рис. 5 (б) без и с ТКРМ соответственно. В сети с вышеуказанной нагрузкой без ТКРМ угол сдвига фаз составляет 90° , действующее значение тока в сети при этом 226 А (рис. 5 (а)). При подключенном ТКР угол сдвига фаз составил 18° , действующее значение тока в сети 2,5 А (рис. 5 (б)). Временные диаграммы мощностей на нагрузке Q_{load} , на ТКРМ Q_{TSC} и в линии электропередач после ТКРМ $Q_{before\ load}$ приведены на рис. 5 (в). ТКРМ после подключения к сети переходит в 23 ступень компенсации реактивной мощности индуктивного характера, реактивная мощность в сети $Q_{before\ load}$ снижается с 160 до 0,3 кВАр. Просадка мощности в нагрузке и на линии до включения ТКРМ обусловлена падением мощности на активных сопротивлениях линии из-за наличия большого тока в ней.

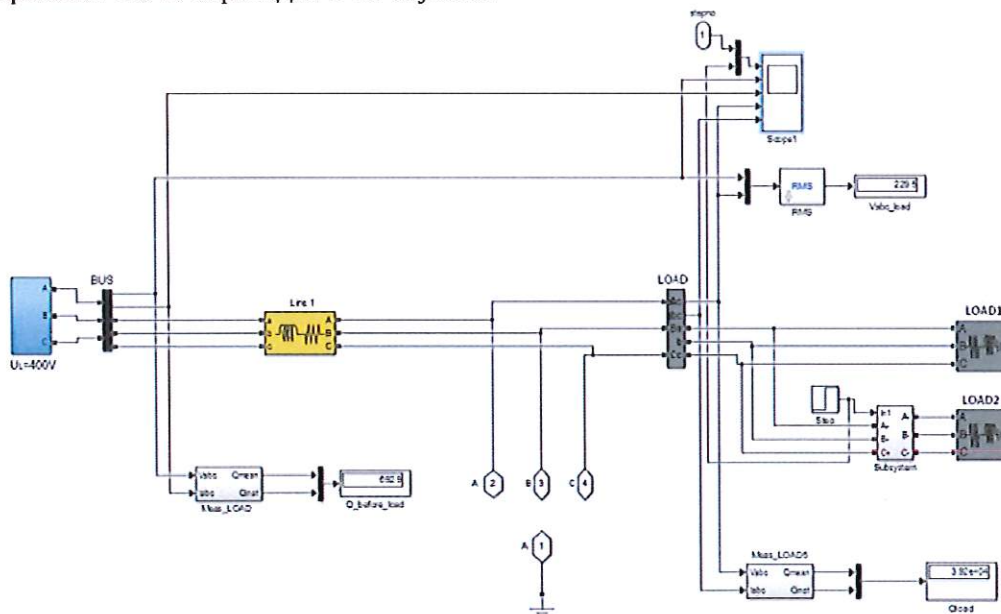


Рисунок 3. Имитационная модель участка трехфазной линии электропередачи напряжением 400 В

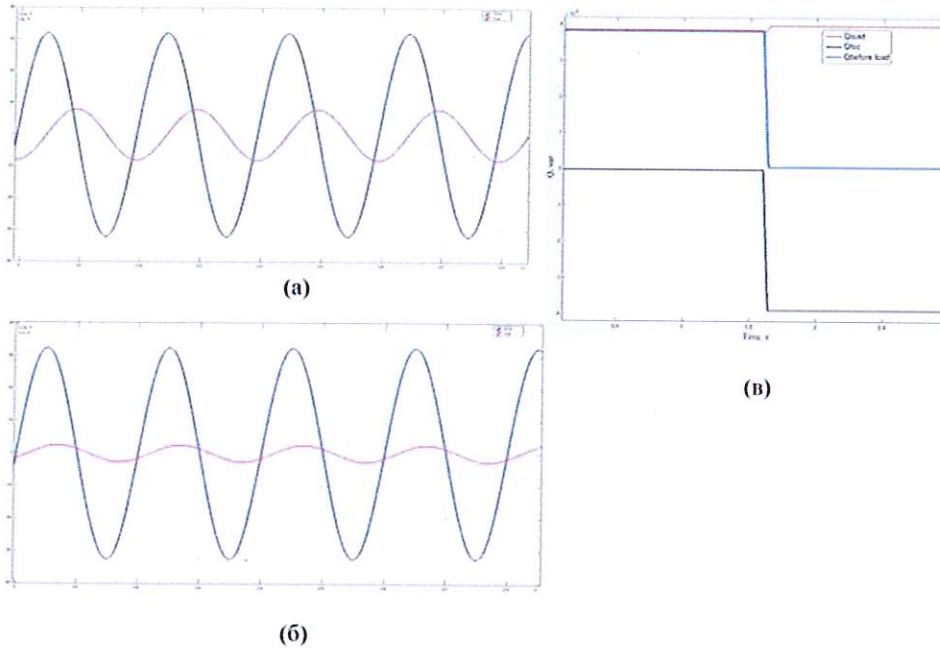


Рисунок 4. (а) Осциллограммы тока и напряжения в линии электропередач без ТКРМ при подключенной активно-индуктивной нагрузке 1 кВт 40 кВАр (б) Осциллограммы тока и напряжения в линии электропередач с ТКРМ при подключенной активно-индуктивной нагрузке 1 кВт 40 кВАр (в) Временные диаграммы мощностей на нагрузке Q_{load} , на ТКРМ Q_{tsrc} и в линии электропередач после ТКРМ $Q_{before load}$

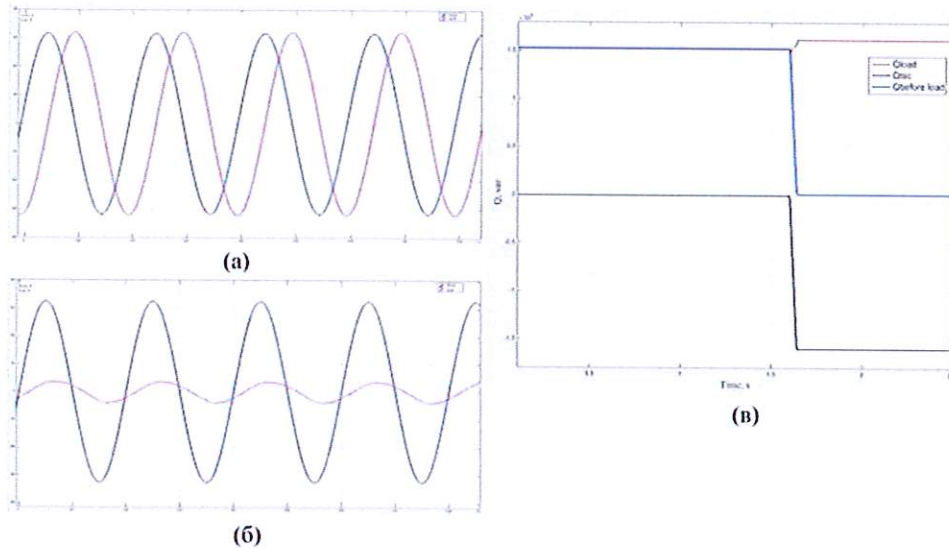


Рисунок 5. (а) Осциллограммы тока и напряжения в линии электропередач без ТКРМ при подключенной активно-индуктивной нагрузке 1 кВт 160 кВАр (б) Осциллограммы тока и напряжения в линии электропередач с ТКРМ при подключенной активно-индуктивной нагрузке 1 кВт 160 кВАр (в) Временные диаграммы мощностей на нагрузке Q_{load} , на ТКРМ Q_{tsrc} и в линии электропередач после ТКРМ $Q_{before load}$

Таким образом, ТКРМ обеспечивает компенсацию реактивной мощности нагрузки в соответствии с регулировочной характеристикой ТКРМ при изменении режима работы линии электропередач. При этом сохраняется высокое качество регу-

лируемого тока (рис. 4 (б) и рис. 5(б)) без использования фильтров.

Заключение. Реализованная в АО «ЭНИН» имитационная модель ТКРМ, позволяет провести целый комплекс исследований управляемых устройств компенсации реактивной мощности при их работе в

составе линии электропередачи, а также проверить и оценить функциональность разрабатываемых устройств.

В настоящее время в АО «ЭНИН» создается экспериментальный образец тиристорного компенсатора реактивной мощности мощностью +/- 200 кВАр для работы в электрических сетях напряжением 400 В. Разработанная модель позволила выбрать оптимальную топологию силовой части экспериментального образца ТКРМ, вычислить величины реактивных компонентов (реакторов и конденсаторов), обеспечивших оптимальные регулировочные характеристики управления, а также отработать саму систему управления ТКРМ.

Работы выполняются АО «ЭНИН» в рамках прикладного проекта «Разработка управляемого источника реактивной мощности с отсутствием высших гармоник тока при регулировании электрической энергии и улучшенными технико-экономическими показателями на основе отечественной компонентной базы силовой электроники для автоматического управления напряжением и потоками мощности в распределительных электрических сетях 6-110 кВ (RFMEFI57917X0140)» при финансовой поддержке Министерства образования и науки Российской Федерации.

Список литературы

1. Hingorani N.G. and Gyugyi L, Understanding FACTS - Concepts and Technology of Flexible AC Transmission Systems. IEEE PESC 98 Record. 29th Annual IEEE Power Electronics Specialists Conference 22-22 May 1998.

2. Panfilov D.I., ElGebaly A.E., Astashev M.G., Rozhkov A.N., Dukhnich E.M., Vershanskiy E.A., Krasnoperov R.N. «New design approach for static VAR compensators with zero harmonic content», Международная научно-практическая конференция «Наука сегодня. Проблемы и перспективы развития», Вологда, Россия, 29 ноября 2017

3. D. I. Panfilov, A. E. ElGebaly and M. G. Astashev, «Thyristors Controlled Reactors for Reactive Power Control with Zero Harmonics Content», 17th IEEE International Conference on Smart Technologies IEEE EUROCON 2017, Ohrid, Macedonia, 6 - 8 July 2017

4. D. I. Panfilov, A. E. ElGebaly and M. G. Astashev, «Design and evaluation of control system for static VAR compensators with thyristors switched reactors» IEEE 58th International Scientific Conference on Power and Electrical Engineering of Riga Technical University (RTUCON), Riga, Latvia, 12-13 October 2017

5. D. I. Panfilov, A. E. ElGebaly, M. G. Astashev, Rozhkov A.N «New Approach for Thyristors Switched Capacitors Design for Static VAR Compensator Systems» 19th INTERNATIONAL CONFERENCE ON MICRO/NANOTECHNOLOGIES AND ELECTRON DEVICES EDM 2018

6. Панфилов Д.И., Асташев М.Г., Рожков А.Н. «Физическая модель линии электропередачи для исследования управляемых устройств продольной компенсации»

УДК 608.2

Пухарева Д.В., Давыдов А.Р.

Пермский национальный исследовательский политехнический университет, Пермь

ИССЛЕДОВАНИЕ КАЛИБРОВОЧНОЙ ЗАВИСИМОСТИ ВОЛОКОННО-ОПТИЧЕСКОГО ДАТЧИКА ТЕМПЕРАТУРЫ

Работа посвящена исследованию калибровочной зависимости волоконно-оптического датчика температуры. Проведено исследование калибровочной зависимости волоконно-оптического датчика температуры на основе брэгговских решеток, а также моделирование калибровочной зависимости с помощью различных видов аппроксимирующих функций.

Волоконно-оптические датчики, аппроксимация экспериментальных данных, калибровочная функция, методы моделирования калибровочной функции, показатель качества волоконно-оптического датчика.

В практике технологий контроля и измерений физических параметров наиболее перспективными считаются волоконно-оптические датчики на основе волоконных брэгговских решеток, поскольку они обладают множеством преимуществ по сравнению со своими электрическими аналогами [2]. Например, они электрически пассивные, термически стабильные и коррозионностойкие.

Одним из основных этапов изготовления датчика является его калибровка. Целью калибровки является приближение

Научное издание

**НАУКА СЕГОДНЯ
ФАКТЫ, ТЕНДЕНЦИИ, ПРОГНОЗЫ**

Материалы международной
научно-практической конференции

Российская Федерация, г. Вологда
26 июня 2019 г.

ISBN 978-5-907083-51-6



Подписано в печать 01.07.2019 г. Формат 60×84/16. Бумага офсетная.
Усл. печ. л. 9,47. Уч.-изд. л. 13,12. Тираж 500 экз.

Отпечатано с готового оригинал-макета
в типографии ООО «Маркер»
160000, г. Вологда, ул. Северная, 36, оф. 15